

δ_y はそれぞれ140kN, 19.5mm（部材角 θ で1/114）となった。荷重履歴曲線の包絡線において5 δ_y ($\theta : 1/23$) まで降伏耐力 P_y を保持する比較的安定した紡錘形の履歴を示した。7 δ_y 正載荷時に右側柱上端塑性ヒンジ領域内にせん断ずれが生じて鉛直荷重を保持できなくなり試験を終了した。図3(a)にはファイバー模型を用いた解析値も同時に示してあるが、降伏耐力・変位および最大耐力とも実験結果と概ね合致している。一方、試験体 B_S は、リンク材ウェブのせん断降伏後 ($P_y : 224\text{ kN}$)、試験体 B_O と同じ変位 δ_y で柱端部鉄筋が降伏した ($P_y : 418\text{ kN}$)。また、2 δ_y 時にリンク材ウェブの部分座屈が始まり、4 δ_y 時に正載荷で最大耐力 ($P_{max} : 576\text{ kN}$) を示した後負載荷中にリンク材ウェブの部分破断が生じた。この変位までは剛性の大きい安定した紡錘形の履歴を示した。その後は耐力低下が生じるとともに履歴曲線も逆S形へと変化をしている。しかし、この場合でも試験体 B_O に比較して十分高いエネルギー吸収能を有していることが分かる。さらに、荷重履歴の包絡線で6 δ_y 時までは降伏耐力 P_y を保持したが、この変位の正載荷2サイクル目に試験体 B_O と同様な右側柱上端塑性ヒンジ領域内のせん断ずれが生じた。図3(b)にはリンク材の力学特性に関する既往の研究結果[1]を用いた架構全体に対する解析値を同時に示してある。リンク材のせん断降伏時の耐力・変形までは実験結果と合致するものの、それ以降は耐力を過小に評価する結果となった。図4にリンク材が負担する荷重とリンク材部分の変位との関係を示す。ウェブ破断が生じるまでは紡錘形の履歴であるがその後は逆S形となり全体系の履歴と対応していることが分かる。また、ウェブ破断後の耐力増加は抵抗機構がウェブせん断モードからフランジ引張モードに移行するためと考えられる。

3.2 エネルギー吸収性能 吸收エネルギー量 E と累積変位 $\Sigma \delta$ の関係を図5に示す。同図からRC架構Aによる吸收エネルギー量 E_{RC} は試験体 B_S , B_O とともに同程度であることが分かる。また、試験体 B_S におけるリンク材の吸收エネルギー量 E_L は E_{RC} に比較して約4.5倍となり、両者の耐力比(3.7)以上の性能が得られたことが分かった。

4.まとめ

鋼製プレースダンパーを有するRC架構の交番載荷試験を行なった結果、RC架構に比して水平剛性が高くエネルギー吸収性能の大きな荷重履歴が安定して得られることが分かった。また、リンク材の吸收エネルギー量は架構との耐力比以上となることが得られた。

謝辞：今回試験に使用した低降伏点鋼材は、新日鐵（株）よりご提供頂きました。ここに深謝します。

参考文献

[1] 品部祐児、高橋泰彦：せん断抵抗型耐震要素の復元力特性のモデル化に関する実験的研究（その1，その2），日本建築学会1995年度大会（北海道）学術講演梗概集，C-1構造III，pp.469～472，1995.8.

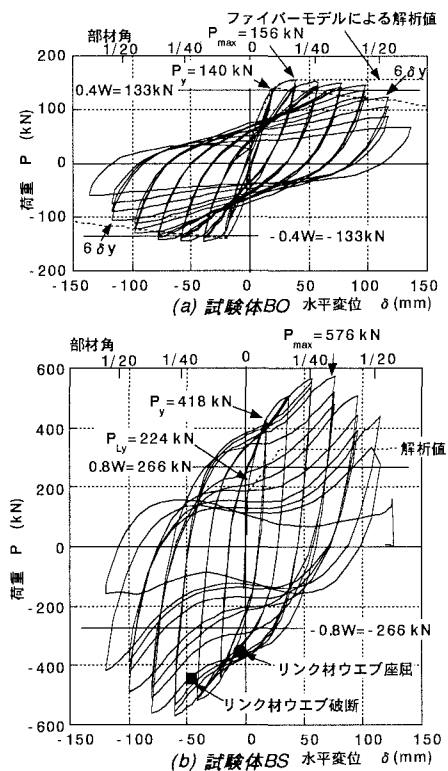


図3 水平荷重と頂部変位との関係

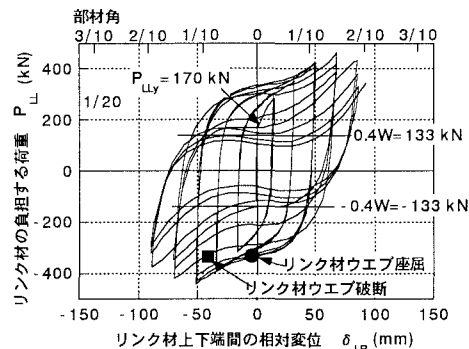


図4 リンク材が負担する荷重と変位との関係

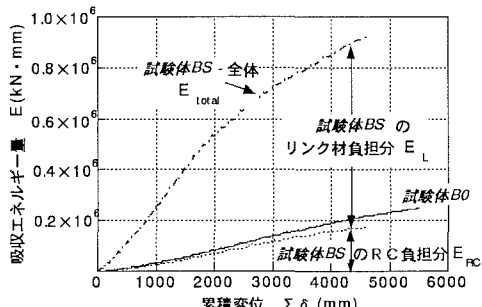


図5 吸收エネルギー量と累積変位との関係